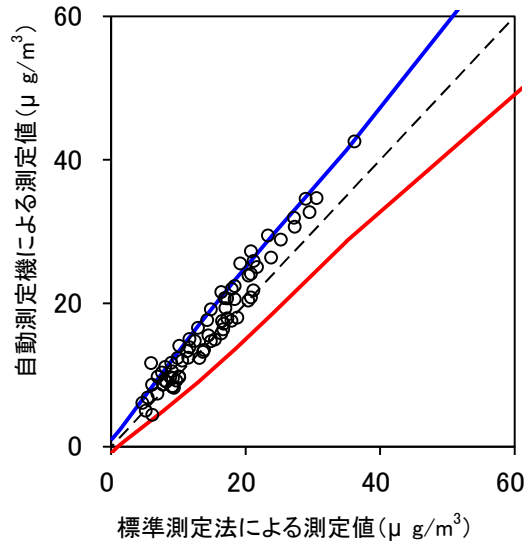


③ BAM-250 (柴田科学 (株))

A: グループごとに P_R を最大化する方法

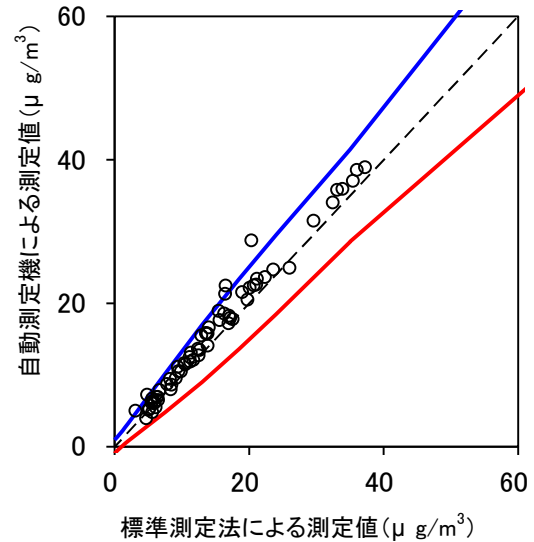
グループ 1 による評価

機種名	BAM-250・夏季
有効測定日数	72
自動測定機の有効データ数	72
ハズレ値の個数	11
r	10
K	1.820
傾き	1.14



BAM-250の夏季における管理限界線との関係

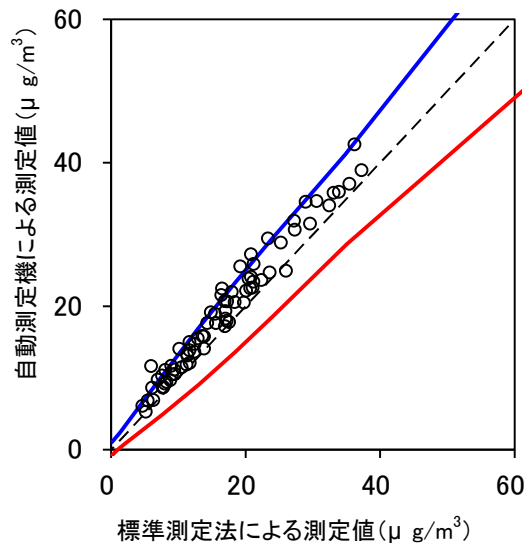
機種名	BAM-250・冬季
有効測定日数	70
自動測定機の有効データ数	65
ハズレ値の個数	5
r	9
K	1.838
傾き	1.06



BAM-250の冬季における管理限界線との関係

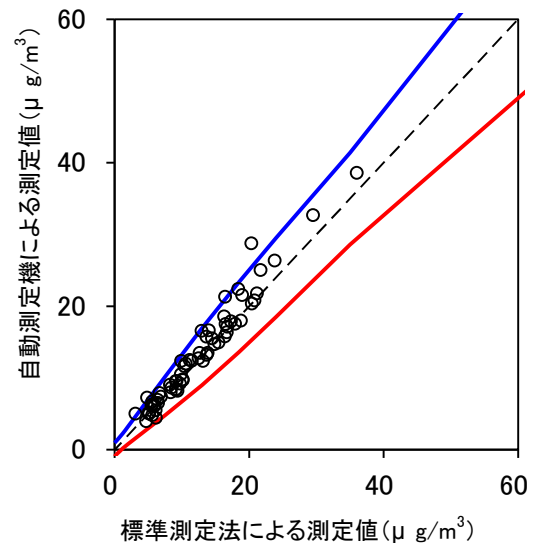
グループ 2 による評価

機種名	BAM-250・都市部
有効測定日数	73
自動測定機の有効データ数	73
ハズレ値の個数	11
r	10
K	1.826
傾き	1.05



BAM-250の都市部における管理限界線との関係

機種名	BAM-250・非都市部
有効測定日数	69
自動測定機の有効データ数	64
ハズレ値の個数	4
r	9
K	1.831
傾き	1.11



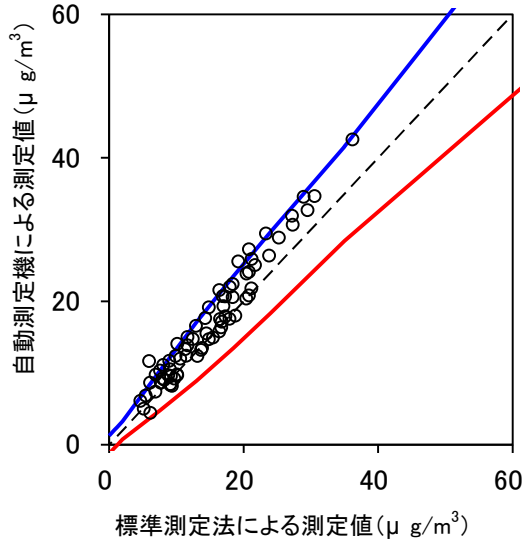
BAM-250の非都市部における管理限界線との関係

B : グループごとに P_R を固定する方法

(1) $\alpha = \alpha'_1$ の場合

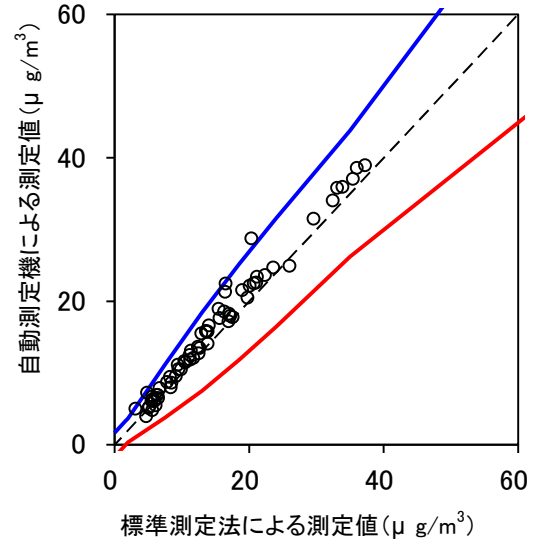
グループ 1 による評価

機種名	BAM-250・夏季
有効測定日数	72
自動測定機の有効データ数	72
ハズレ値の個数	9
r	10
K	1.884
傾き	1.14



BAM-250の夏季における管理限界線との関係

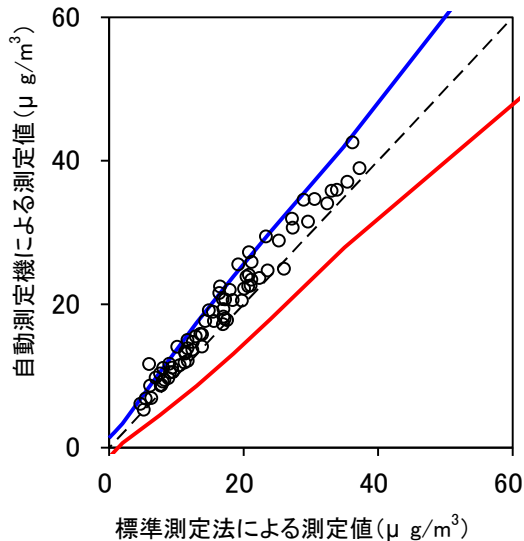
機種名	BAM-250・冬季
有効測定日数	70
自動測定機の有効データ数	65
ハズレ値の個数	1
r	3
K	2.515
傾き	1.06



BAM-250の冬季における管理限界線との関係

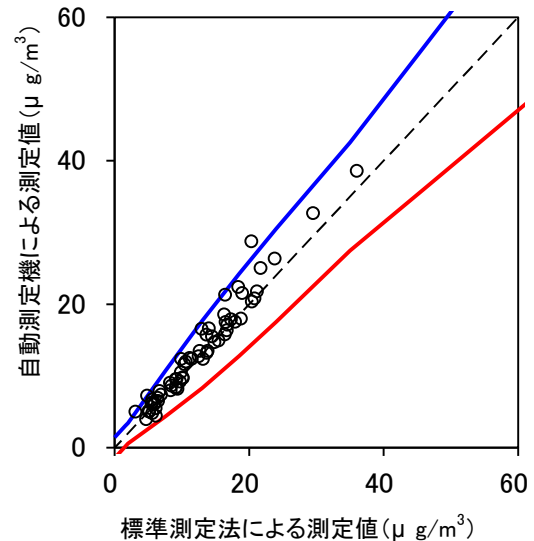
グループ 2 による評価

機種名	BAM-250・都市部
有効測定日数	73
自動測定機の有効データ数	73
ハズレ値の個数	7
r	8
K	2.028
傾き	1.05



BAM-250の都市部における管理限界線との関係

機種名	BAM-250・非都市部
有効測定日数	69
自動測定機の有効データ数	64
ハズレ値の個数	3
r	6
K	2.157
傾き	1.11

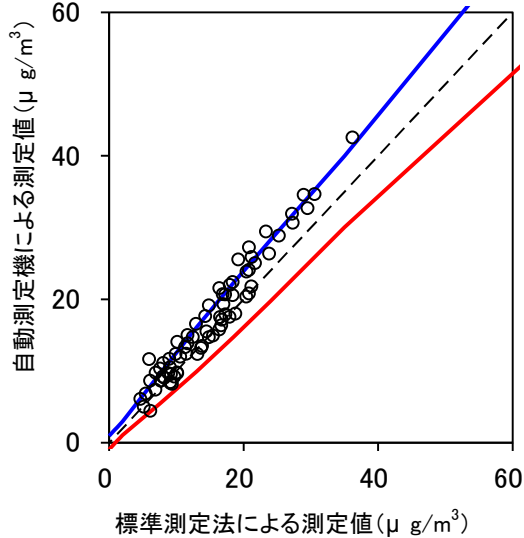


BAM-250の非都市部における管理限界線との関係

(2) $\alpha = \alpha'_2$ の場合

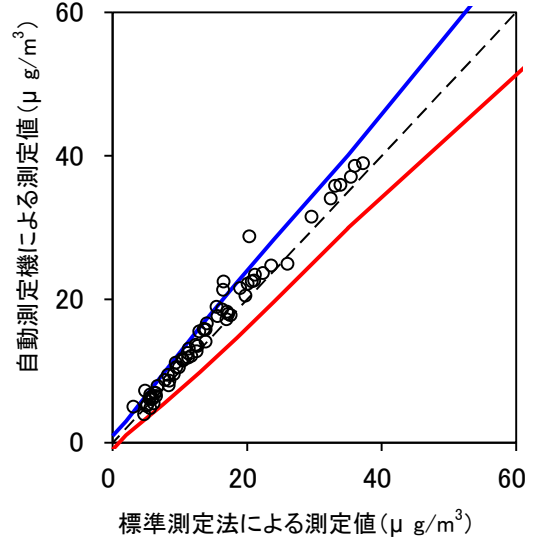
グループ 1 による評価

機種名	BAM-250・夏季
有効測定日数	72
自動測定機の有効データ数	72
ハズレ値の個数	22
r	19
K	1.421
傾き	1.14



BAM-250の夏季における管理限界線との関係

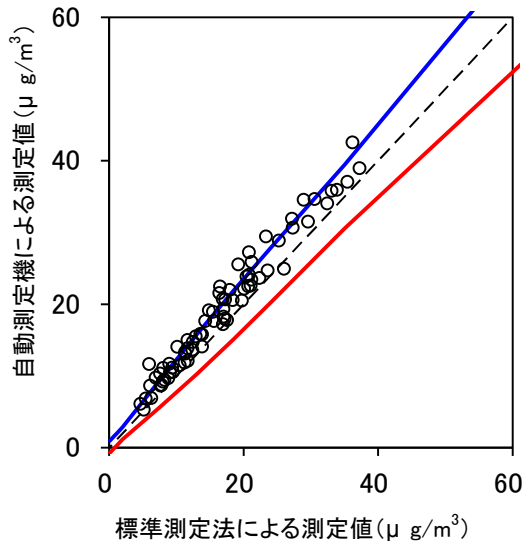
機種名	BAM-250・冬季
有効測定日数	70
自動測定機の有効データ数	65
ハズレ値の個数	6
r	17
K	1.450
傾き	1.06



BAM-250の冬季における管理限界線との関係

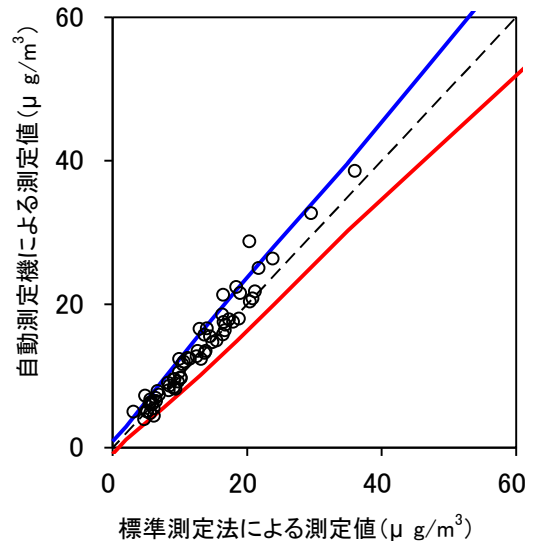
グループ 2 による評価

機種名	BAM-250・都市部
有効測定日数	73
自動測定機の有効データ数	73
ハズレ値の個数	24
r	23
K	1.270
傾き	1.05



BAM-250の都市部における管理限界線との関係

機種名	BAM-250・非都市部
有効測定日数	69
自動測定機の有効データ数	64
ハズレ値の個数	7
r	19
K	1.349
傾き	1.11

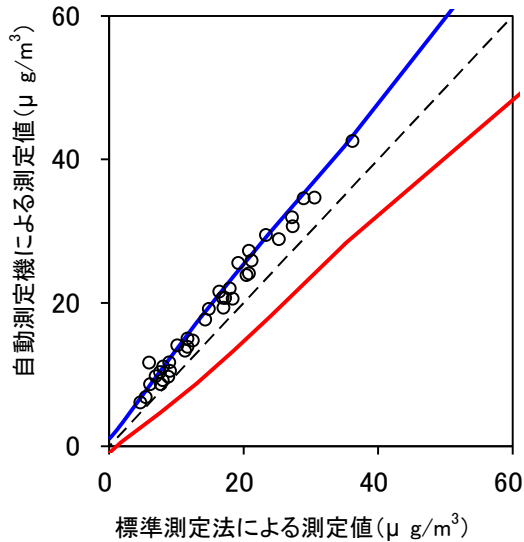


BAM-250の非都市部における管理限界線との関係

C: フィールドごとに P_R を最大化する方法

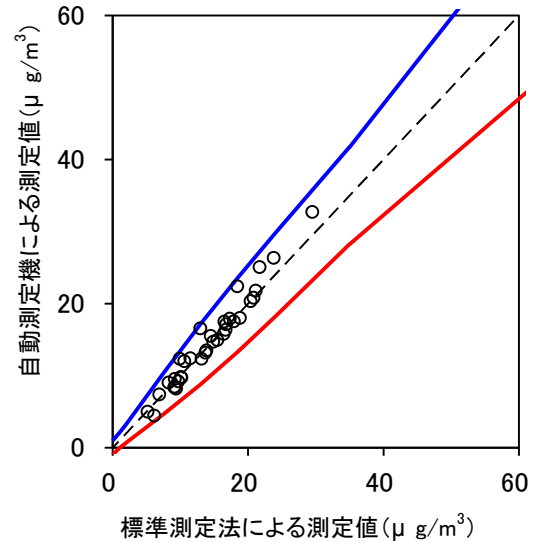
フィールドごとによる評価

機種名	BAM-250・都市部(夏)
有効測定日数	37
自動測定機の有効データ数	37
ハズレ値の個数	8
r	5
K	1.956
傾き	1.12



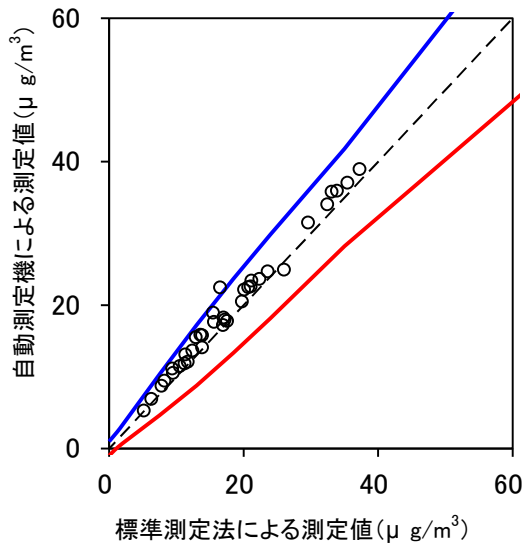
BAM-250の都市部(夏)における管理限界線との関係

機種名	BAM-250・非都市部(夏)
有効測定日数	35
自動測定機の有効データ数	35
ハズレ値の個数	0
r	5
K	1.931
傾き	1.11



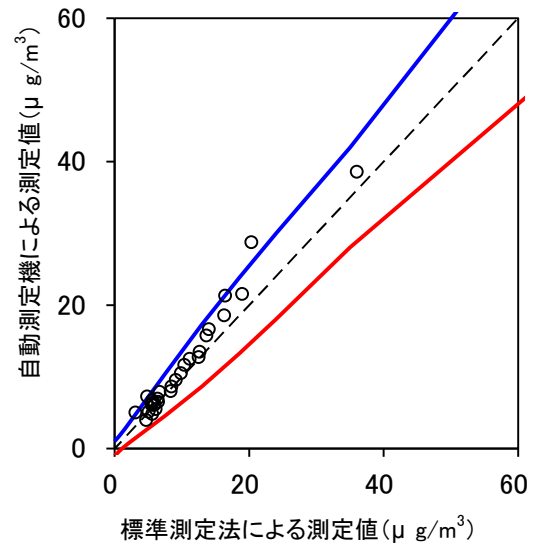
BAM-250の非都市部(夏)における管理限界線との関係

機種名	BAM-250・都市部(冬)
有効測定日数	36
自動測定機の有効データ数	36
ハズレ値の個数	1
r	5
K	1.943
傾き	1.02



BAM-250の都市部(冬)における管理限界線との関係

機種名	BAM-250・非都市部(冬)
有効測定日数	34
自動測定機の有効データ数	29
ハズレ値の個数	3
r	4
K	1.992
傾き	1.16



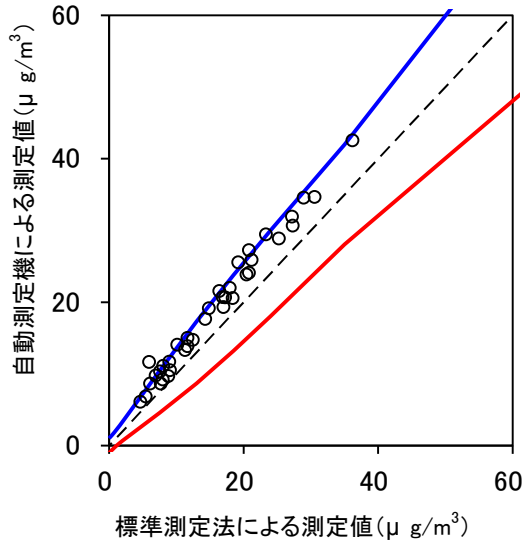
BAM-250の非都市部(冬)における管理限界線との関係

D: フィールドごとにPRを固定する方法

(1) $\alpha = \alpha'_1$ の場合

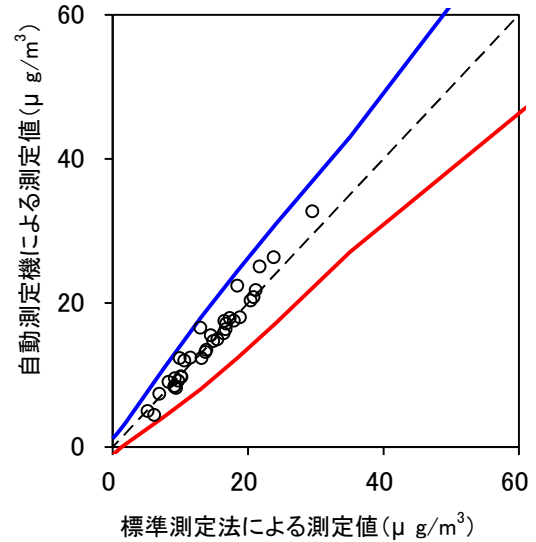
フィールドごとによる評価

機種名	BAM-250・都市部(夏)
有効測定日数	37
自動測定機の有効データ数	37
ハズレ値の個数	8
r	5
K	1.992
傾き	1.12



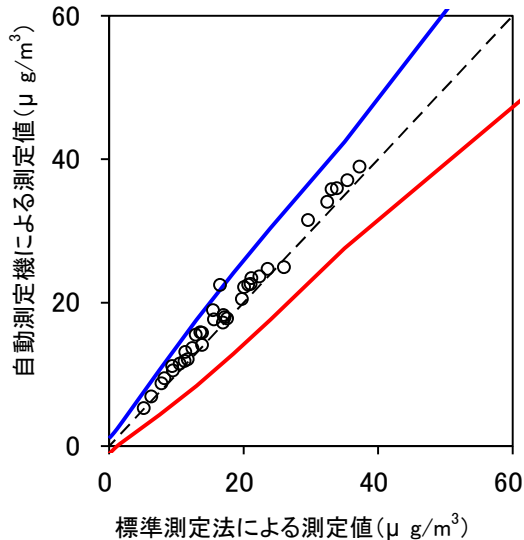
BAM-250の都市部(夏)における管理限界線との関係

機種名	BAM-250・非都市部(夏)
有効測定日数	35
自動測定機の有効データ数	35
ハズレ値の個数	0
r	3
K	2.281
傾き	1.11



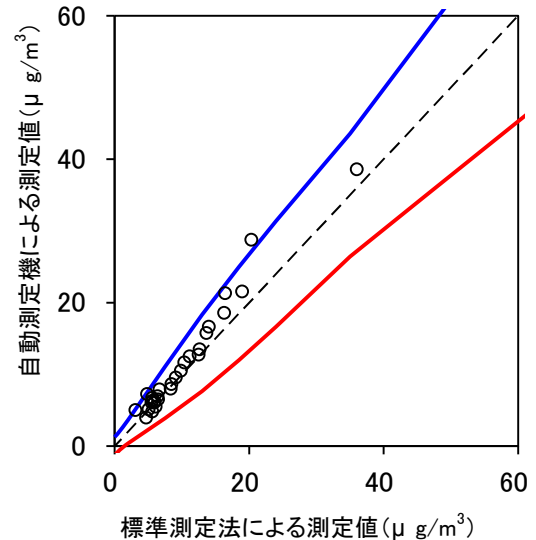
BAM-250の非都市部(夏)における管理限界線との関係

機種名	BAM-250・都市部(冬)
有効測定日数	36
自動測定機の有効データ数	36
ハズレ値の個数	1
r	4
K	2.122
傾き	1.02



BAM-250の都市部(冬)における管理限界線との関係

機種名	BAM-250・非都市部(冬)
有効測定日数	34
自動測定機の有効データ数	29
ハズレ値の個数	1
r	2
K	2.452
傾き	1.16

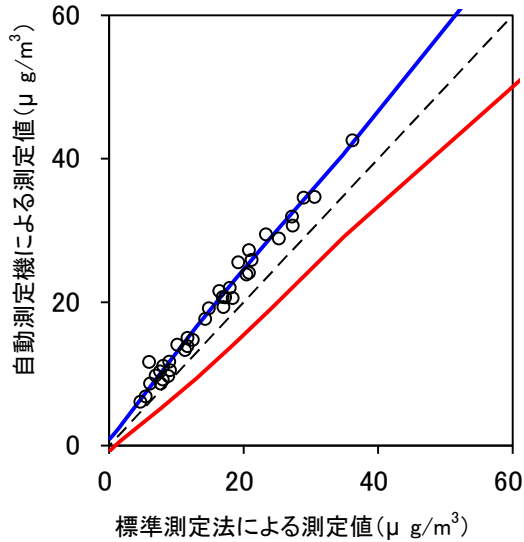


BAM-250の非都市部(冬)における管理限界線との関係

(2) $\alpha = \alpha'_2$ の場合

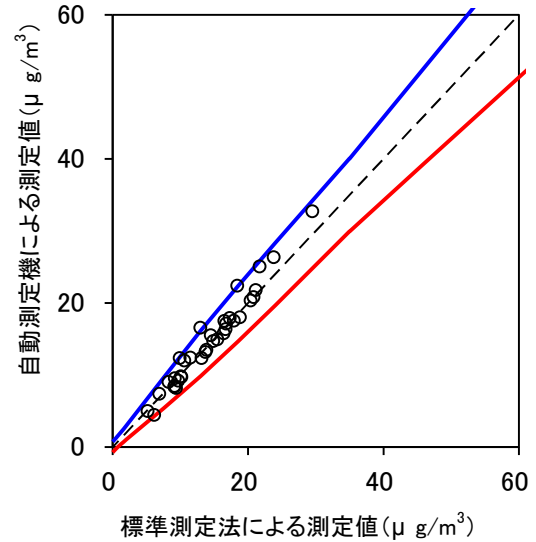
フィールドごとによる評価

機種名	BAM-250・都市部(夏)
有効測定日数	37
自動測定機の有効データ数	37
ハズレ値の個数	13
r	8
K	1.659
傾き	1.12



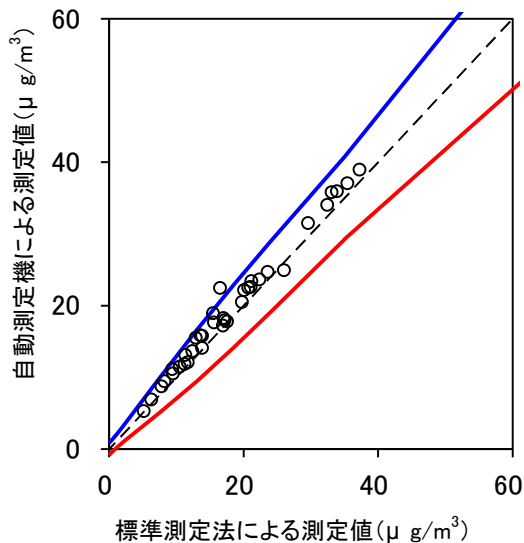
BAM-250の都市部(夏)における管理限界線との関係

機種名	BAM-250・非都市部(夏)
有効測定日数	35
自動測定機の有効データ数	35
ハズレ値の個数	2
r	10
K	1.446
傾き	1.11



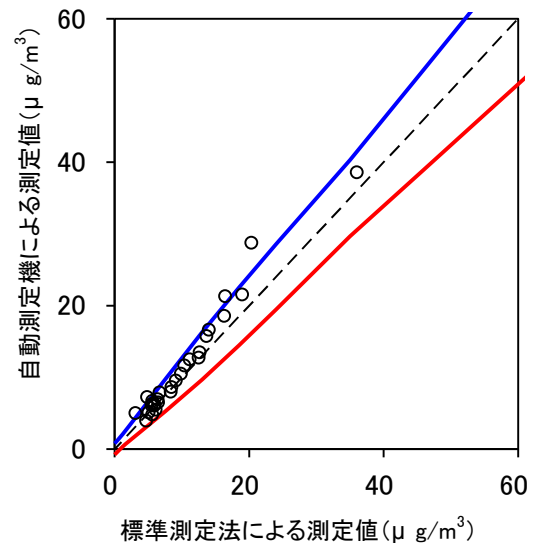
BAM-250の非都市部(夏)における管理限界線との関係

機種名	BAM-250・都市部(冬)
有効測定日数	36
自動測定機の有効データ数	36
ハズレ値の個数	1
r	8
K	1.644
傾き	1.02



BAM-250の都市部(冬)における管理限界線との関係

機種名	BAM-250・非都市部(冬)
有効測定日数	34
自動測定機の有効データ数	29
ハズレ値の個数	4
r	8
K	1.520
傾き	1.16



BAM-250の非都市部(冬)における管理限界線との関係